

Rolling of ARALL Laminates

(an alternative method for post-stretching ARALL laminates)

July 1988

D. Chen / F.E.H.M. Smulders / L.B. Vogelesang

Rolling of ARALL Laminates

(an alternative method for post-stretching ARALL laminates)

July 1988

D. Chen/F.E.H.M. Smulders/L.B. Vogelesang

1. Introduction

It may be a common knowledge by now that the presence of the fibres (aramid or S-glass fibres) in ARALL Laminates significantly enhances the mechanical properties of the laminate, especially in the sense of the fatigue properties. As a result of the fibre bridging mechanism, the fatigue growth rates of ARALL Laminates can be significantly reduced when the fibres remain intact during the fatigue process. Unfortunately, fibre failure can occur when as-cured ARALL Laminates (with aramid fibres) is fatigued under $R=0$ C.A. load conditions. This problem can be overcome by post-stretching the material to reverse the internal thermal residual stress system. The fibres are then set in tension and the aluminum layers in compression. As a result, ARALL laminates gain better fatigue properties and fibre failure does not occur. This post-stretching process has been standardized for some versions of ARALL laminates (ARALL 1).

An alternative process has been developed in the laboratory of the University of Delft. It is found that the reversion of the thermal residual stress system in ARALL laminates can easily be achieved by rolling the material to a permanent setting (for instance 0.4%). The fatigue properties of the material are as superior as the post-stretched version and some of the mechanical properties show also significant improvement without losing any of the advantages of the material.

The main advantage of this process is that conventional rolling equipment can be used which means lower costs and higher productivity for the materials manufacturer. It is also important that this process may be used to treat wide panels which are essential for the application of the ARALL laminates as an aircraft fuselage skin material.

This rolling process is discussed briefly in this report. Some test results are also presented.

* Patent is applied for this rolling process under NL 8703165
"Manufacturing prestressed ARALL by rolling".

2. The rolling process

A rolling-machine as shown in fig.1 is used for this research. The maximum width of the specimen which can be rolled in this machine is ca. 120mm. The diameter of the rollers is ca. 115mm. The distance between the rollers can be adjusted within an accuracy of ca. 0.1mm. The speed of the rollers is constant. And all the specimen are rolled at room temperature.

The permanent elongation of the specimen is measured by comparing the lengths of the specimen before and after rolling. A vernier with an accuracy of 0.01mm is used for the measurements. The rollers are adjusted empirically to achieve the desired permanent setting of the specimens after rolling.

It has been found very important that the fibres of the specimen must be strictly parallel to the rolling direction of the rollers to avoid warping of the specimen. However, rolling tests with standardized 3/2 lay-up ARALL specimens showed very limited warping.

3. Some mechanical properties of rolled ARALL laminates

a. C.A. Fatigue tests with R=0

ARALL 2 (2/1 lay-up) has been rolled to have a permanent setting of 0.38% in the fibre direction. C.A. fatigue tests have been carried out. Some ARALL 2 (2/1 lay-up) as-cured specimen have also been tested under the same load conditions. The test results are given in fig. 2.

It is obvious, that the rolled specimens have much better fatigue properties compared to the as-cured specimens. Fibre failure did not occur. The rolled specimen showed a much longer fatigue life even under the extremely severe fatigue load condition (R=0, S=0-150 MPa).

b. Bell-peel tests

A very important property of any structural composite material is the so-called "peel-strength". The Bell-peel tests are often conducted to compare peel-strength of different materials. A sketch of the test method is given in fig. 3. A detailed description of the test method applied to ARALL laminates can be found in Dr. M. Verbruggen's report "The peelstrength of ARALL. LR-397 Delft University of Technology".

Two independent test series have been conducted involving 5 rolled and 3 as-cured specimens. The test results are given in fig. 4. All the rolled specimens showed significant improvement in peel strength compared with the as-cured specimens. The average Bell-peel strength of the rolled specimens gave 2.4 x the peel strength of the as-cured specimens.

According to M. Verbruggen's theory, different fracture modes can occur with Bell-peel tests (fig. 5). Examination of the fracture surface shows that all the as-cured specimens show mode 1 fracture whereas all the rolled specimens show mode 2 fracture which gives higher Bell peel strength (see fig. 6). The test results are found to be reproducible.

c. Blunt-notch tests

A sketch of the Blunt-notch specimen is given in fig.11. ARALL 2 (2/1 lay-up) is rolled to have a 0.4% permanent setting and tested with a K_t -factor of 2.43. Same tests have been carried out with ARALL 2 (2/1 lay-up) as-cured. No difference has been found.

d. Joint bearing tests (Mil-STD-1312)

Bearing strength of a sheet material is considered to be an important engineering property when mechanically fastened joints are used. It is certainly the case in the aerospace industry.

A test method described in Mil-STD-1312 has been used for comparing the joint bearing strengths of the materials (see fig.7).

Both ARALL 2 (2/1 lay-up) 0.4% rolled and as-cured materials are tested. It is found that all the materials have the same joint ultimate bearing strength (P_{ultimate}) and joint yield bearing strength (P_{yield}). $P_{\text{yield}} = 0.87P_{\text{ultimate}}$.

e. Tensile tests and compression tests

The tensile tests are carried out using the test specimen in fig.8. The compression tests are conducted according to DIN 53454 (see fig.9 and Appendix). All specimens are of the 6/5 lay-up type and the permanent setting is 0.4% for both rolled and post-stretched versions.

The test results are summarized in fig.10. It is clear that both post-stretching and rolling have a positive effect on the tensile and compressive properties of the materials. Rolling of the material gives even better results for the Young's moduli of the materials.

It should be noted that the ultimate tensile strength of the material remains unchanged after rolling which is also the case when the material is post-stretched (Marissen, R. and Vogelesang

L.B. Development of a new hybrid material : ARALL, Int. SAMPE
Conference, Cannes, France, Jan. 1981.).

4. Brief discussion of the results

Smulders (Fibre fracture mechanism in ARALL laminates with aramid fibres, thesis work, June 1988, Delft University of Technology) suggests that aramid fibres practically have no adhesion to the epoxy matrix in ARALL. The only bonding force existing between the aramid fibres and the matrix is the so-called "clamping forces" due to the differences in the thermal expansion coefficients of the materials.

The improvement of the Bell-peel strength of the materials might be the result of the so-called "consolidation effect" of the matrix where the matrix is forced to be consolidated eliminating the micro-cracks and voids in the matrix and resulting in a higher engineering performance.

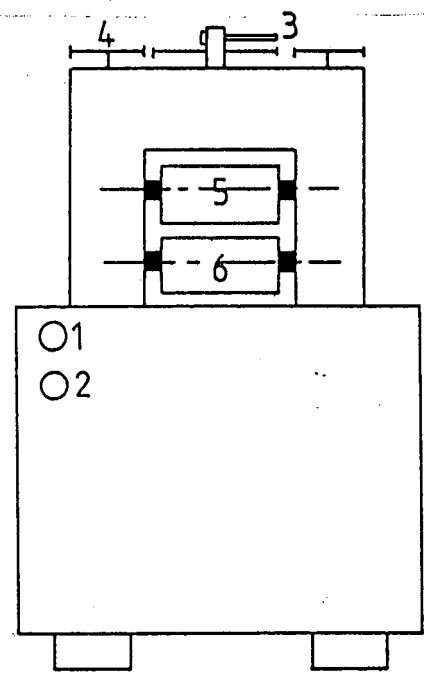
The improvements in both the tensile and compressive properties of the post-stretched laminates are the result of the Bauschinger-effect and the hardening-effect whereas when the material is rolled, the fibres in addition are probably getting better support from the matrix. This might be an explanation of the superior compressive properties of the rolled materials.

5. Conclusions

1. ARALL laminates can be rolled to have a permanent setting without damaging the material;
2. ARALL laminates, which are rolled to have a 0.4% permanent setting, show superior compressive properties compared to both the as-cured and post-stretched versions;
3. ARALL laminates, which are rolled to have a 0.4% permanent setting, show superior tensile properties compared to the as-cured version, and have simular tensile properties as compared to the post-stretched version;
4. The Bell-peel strength of rolled ARALL is at least twice as high as the as-cured ARALL laminates;
5. The fatigue properties of the rolled ARALL laminates are simular to the post-stretched ARALL laminates and are far superior to the as-cured ARALL laminates;
6. In general, rolled ARALL laminates show simular engineering properties as the post-stretched ARALL laminates. No indication of decreasing in engineering properties of rolled ARALL laminates is found compared to the post-stretched and as-cured versions;
7. Rolling of ARALL laminates is a very promissing process to enhance the engineering properties of the material. It might turn out that this process is also very attractive from an economic point of view.

Acknowledgement

The authors gratefully acknowledge the assistance of the visiting students J. W. M. Geraedts, G. Fluit and Mrs. Karin Garmer.



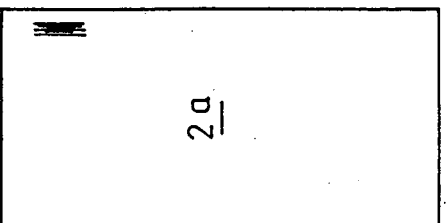
1.2 ON/OFF

3 ADJUSTOR

4 COG-WHEEL

5.6 ROLLERS

Fig.1 Rolling machine



$\Sigma \Sigma 00 \Sigma$

$S = 0 - 150 \text{ MPa}$
 $R = 0$
 C.A. FATIGUE

half-cracklength
mm 30

ARALL 2 (2/1 lay-up)
as-cured

20

10

0

200

100

300

400

Kcycles

ARALL 2 (2/1 lay-up)
0,38% rolled

0

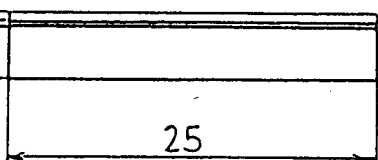
100

200

300

Kcycles

Fig. 2 Effect of rolling on fatigue property of ARALL



Geometry of the specimen

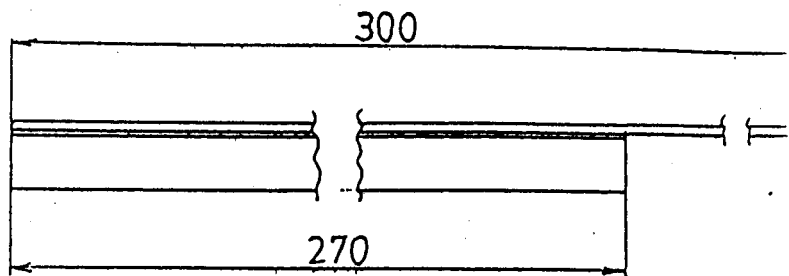
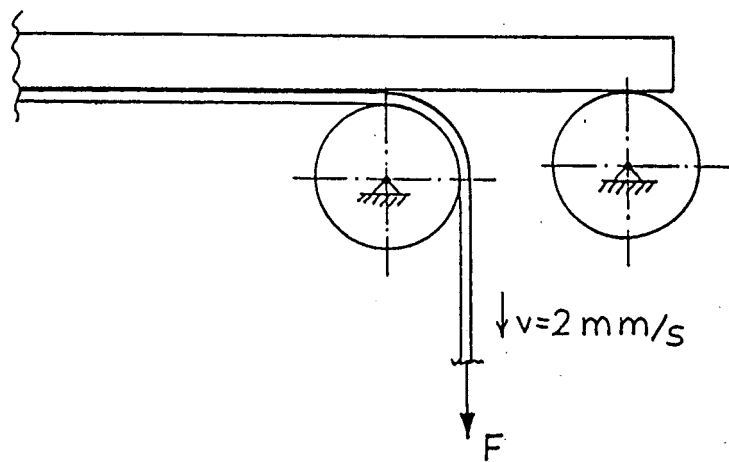


Fig.3 Bell-peel test



Principe Bell-peeltest

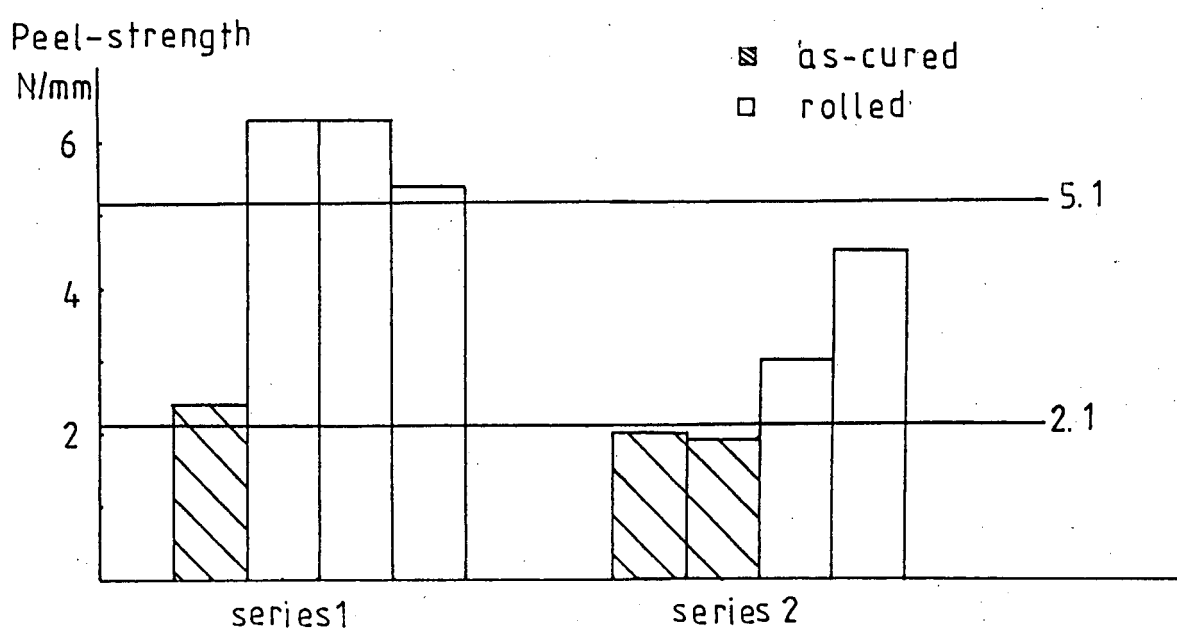
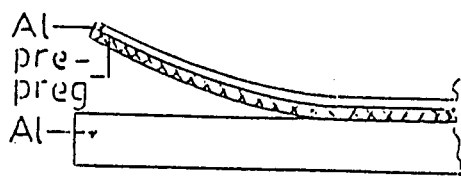
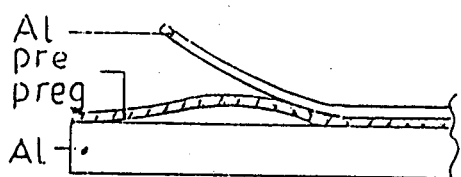


Fig.4 Effect of rolling on peel-strength



Figuur 5a:
Mode 1 fracture



Figuur 5b:
Mode 2 fracture

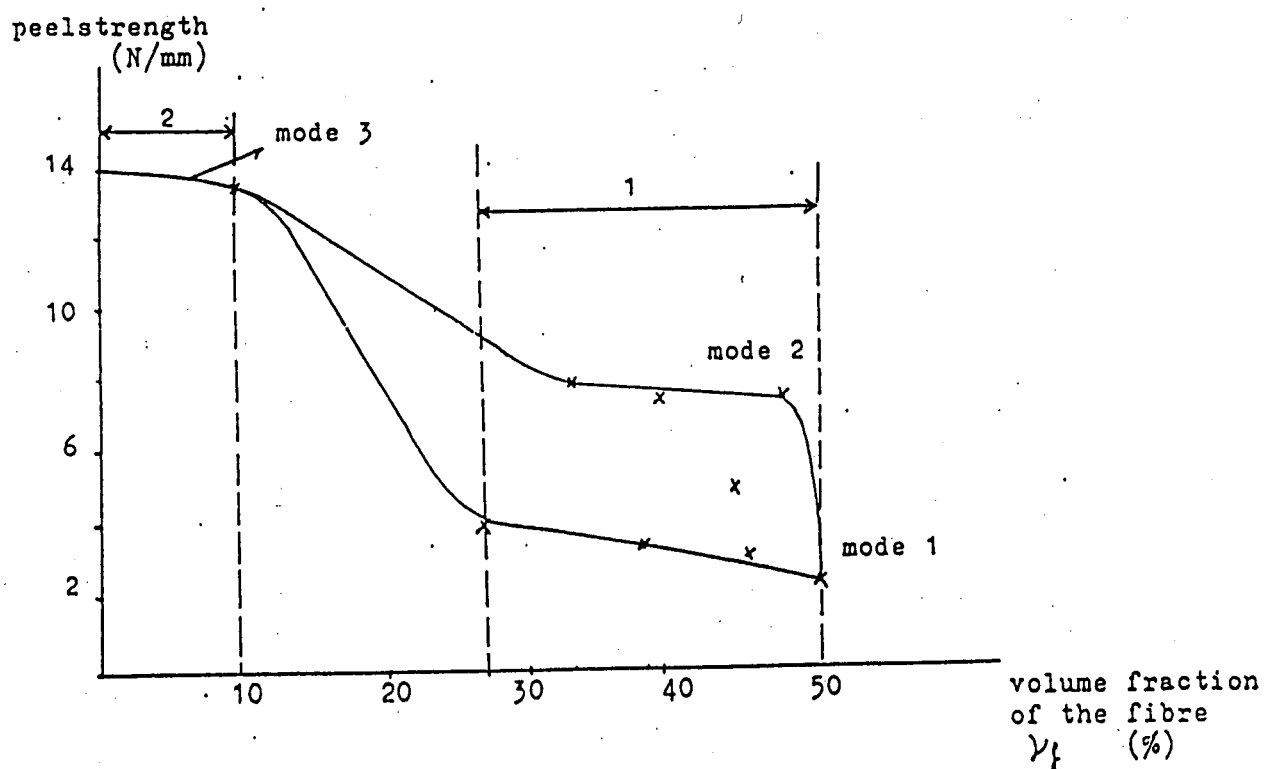


Fig.6 Peel-strength of ARALL (after Verbruggen)

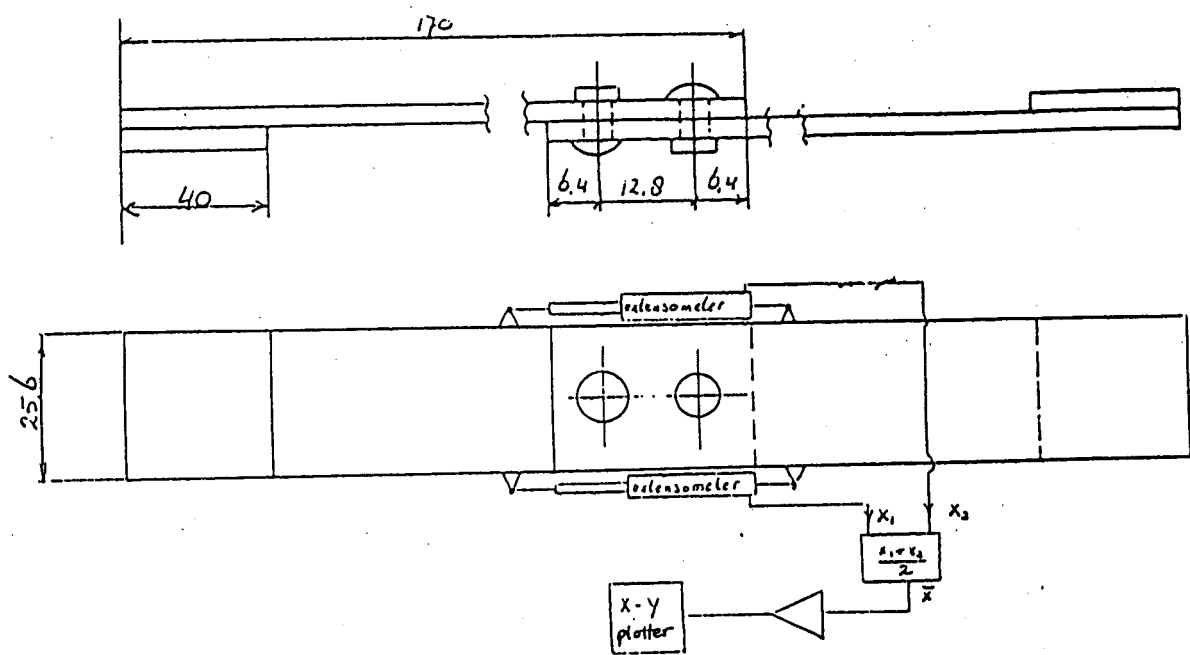


Fig. 7 Bearing strength test (MIL-STD-1312)

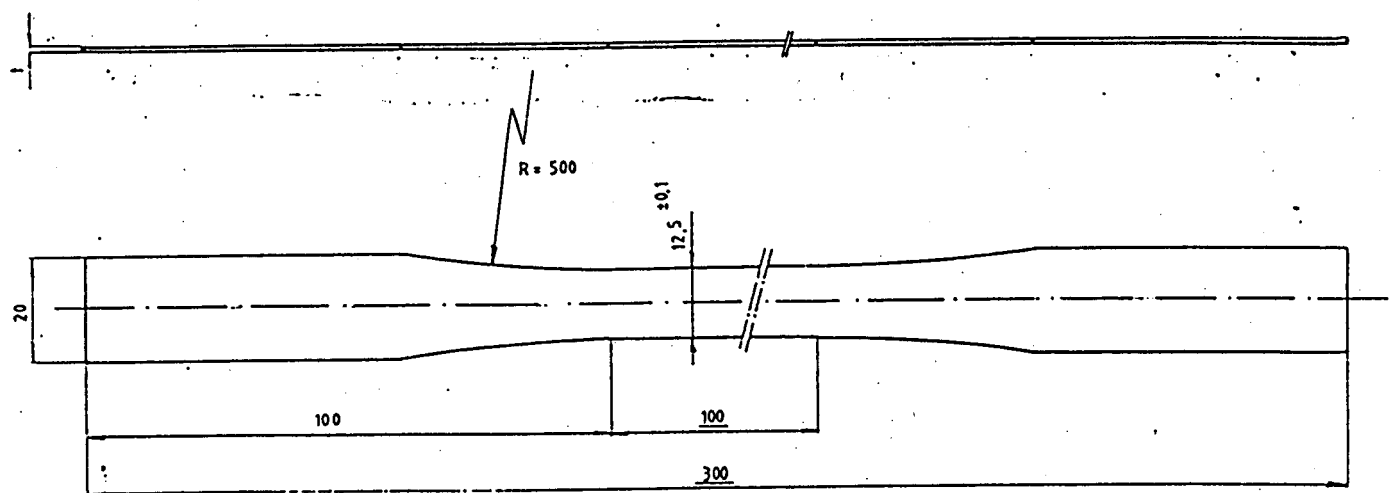
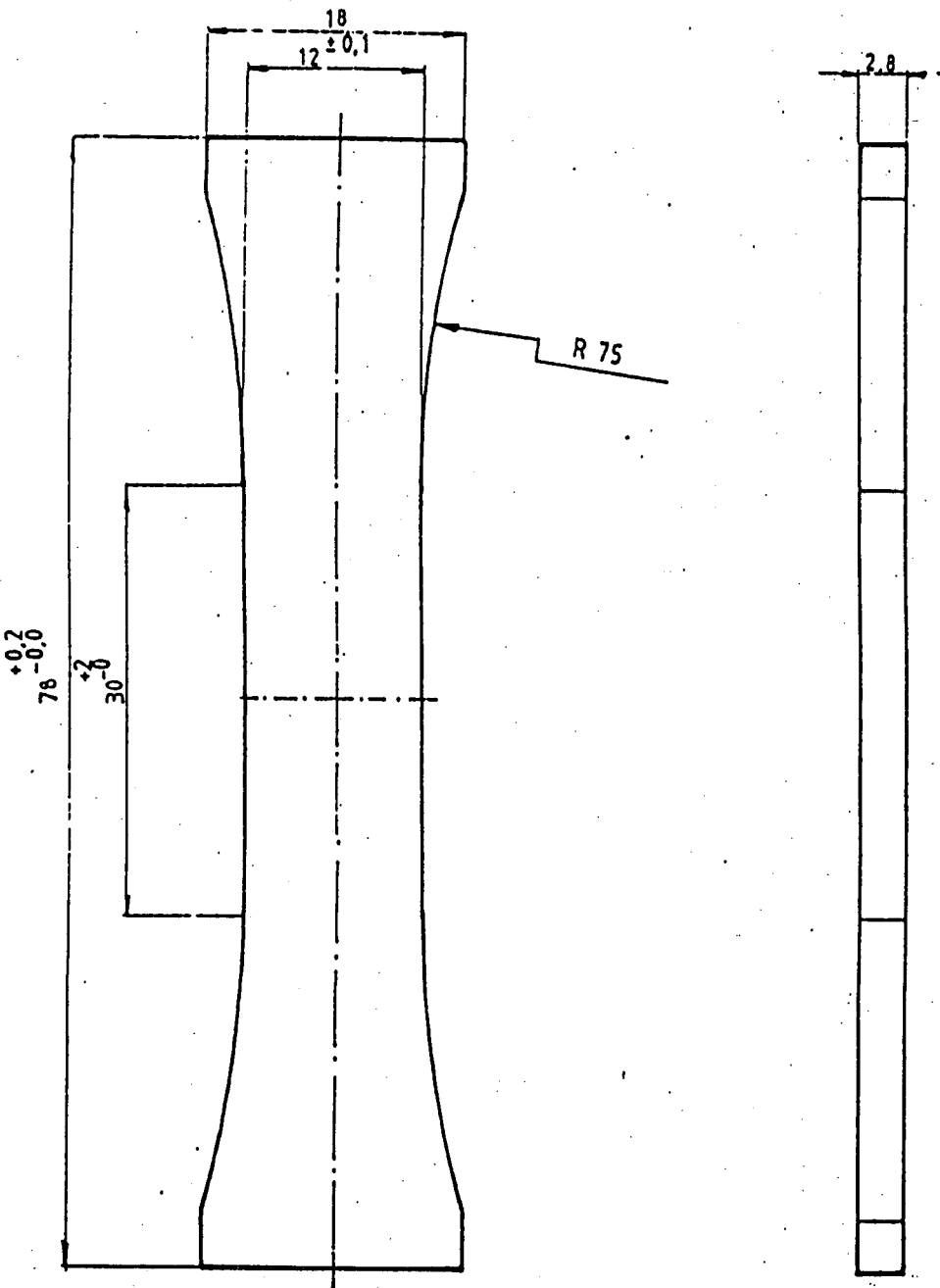


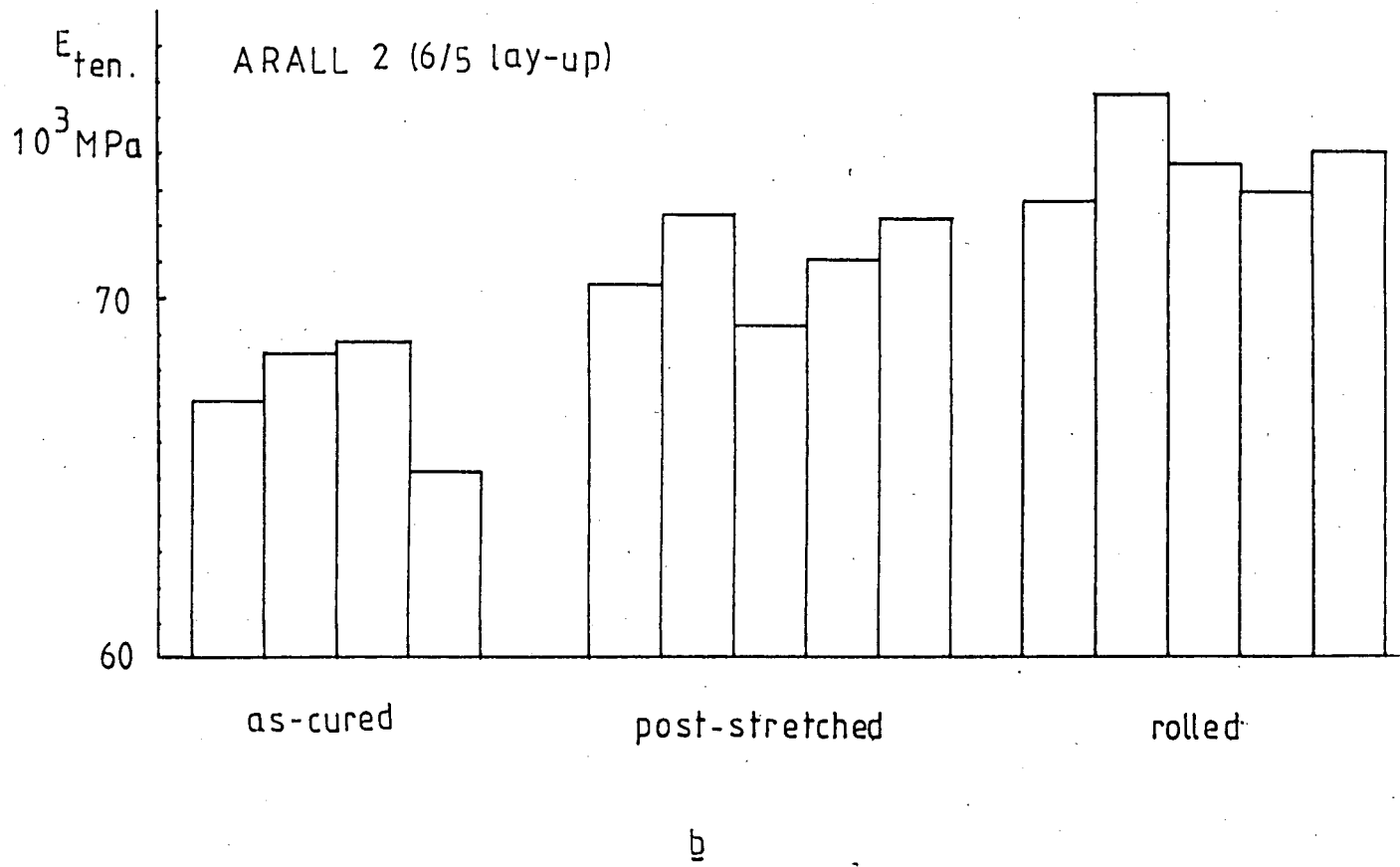
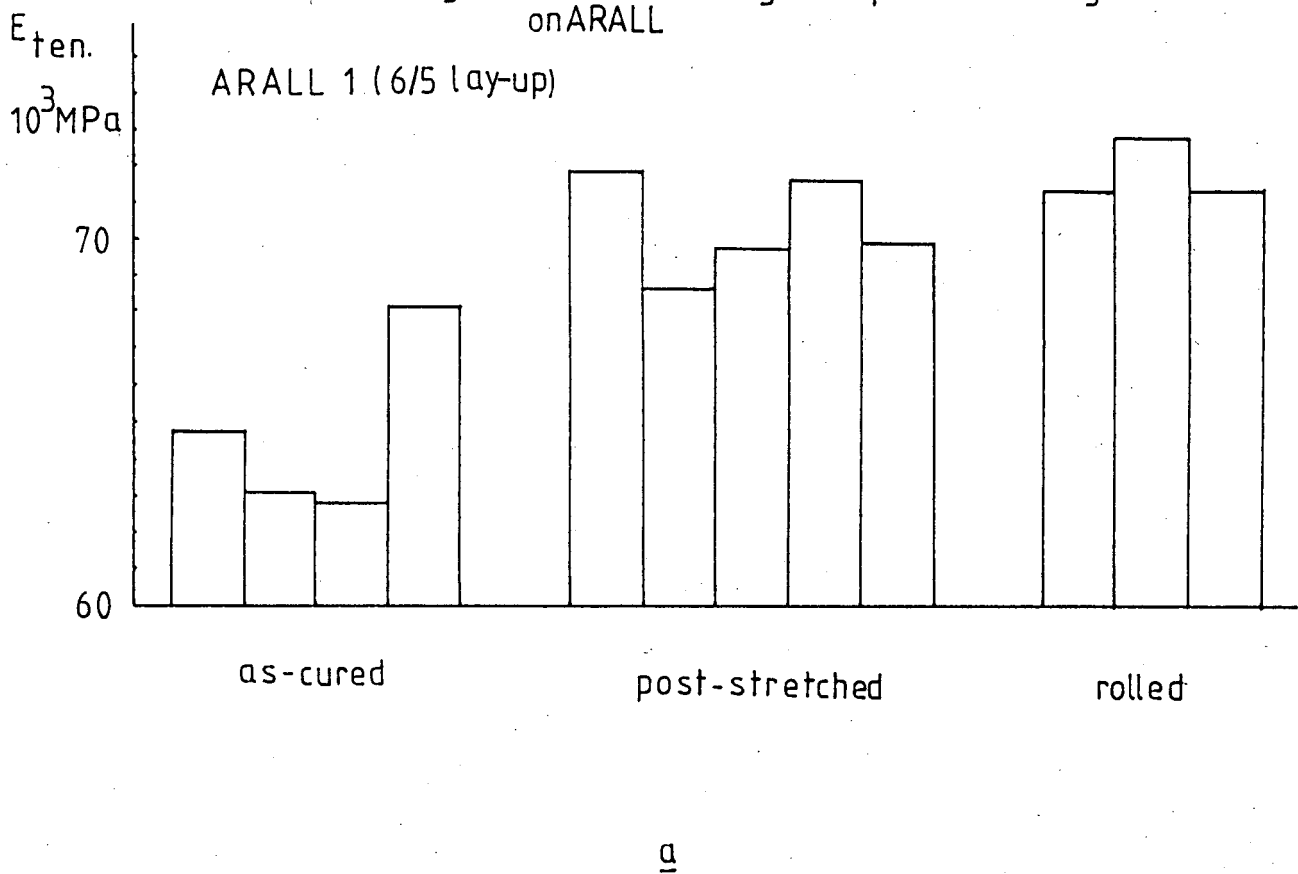
Fig. 8 Tensile specimen

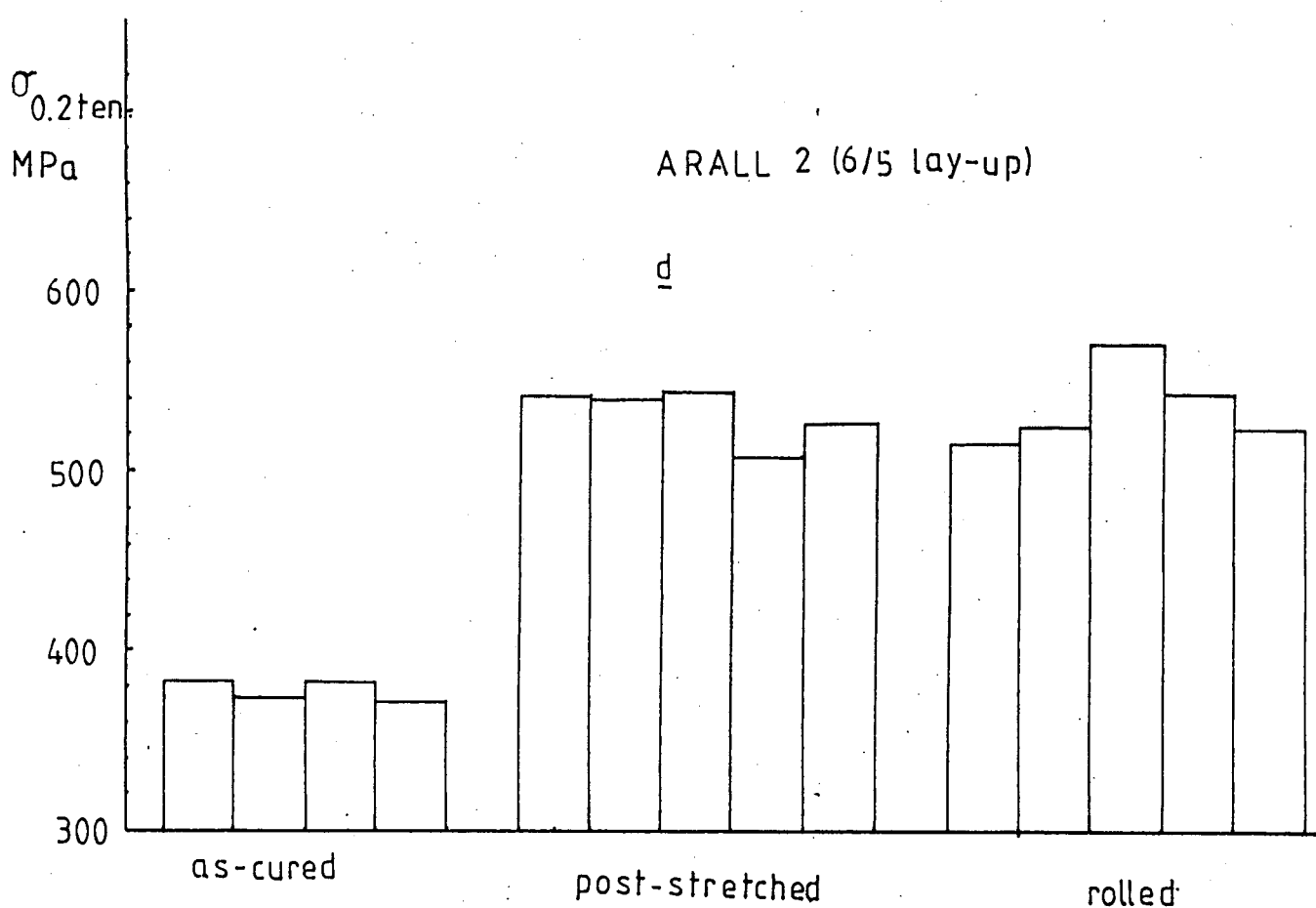
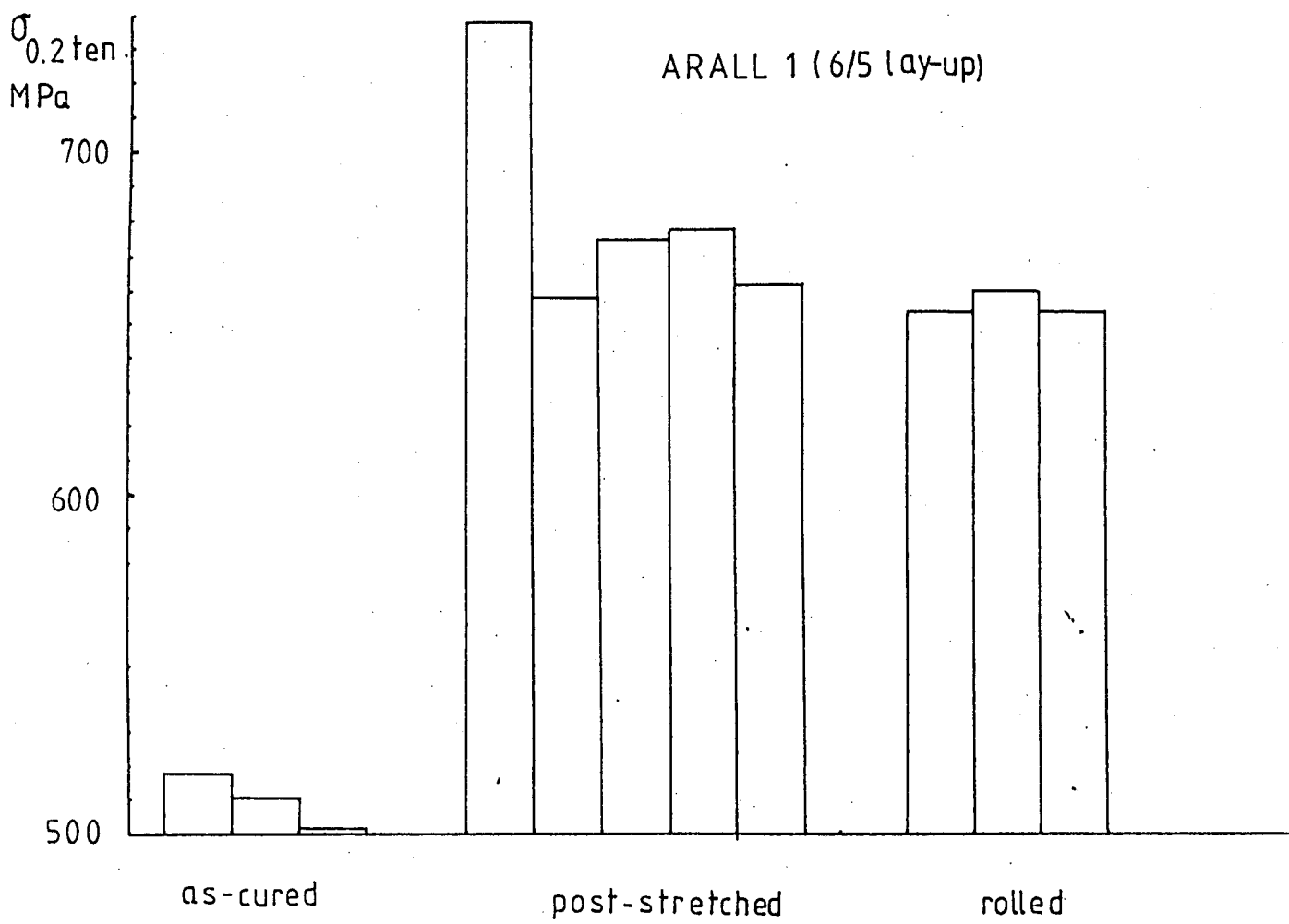


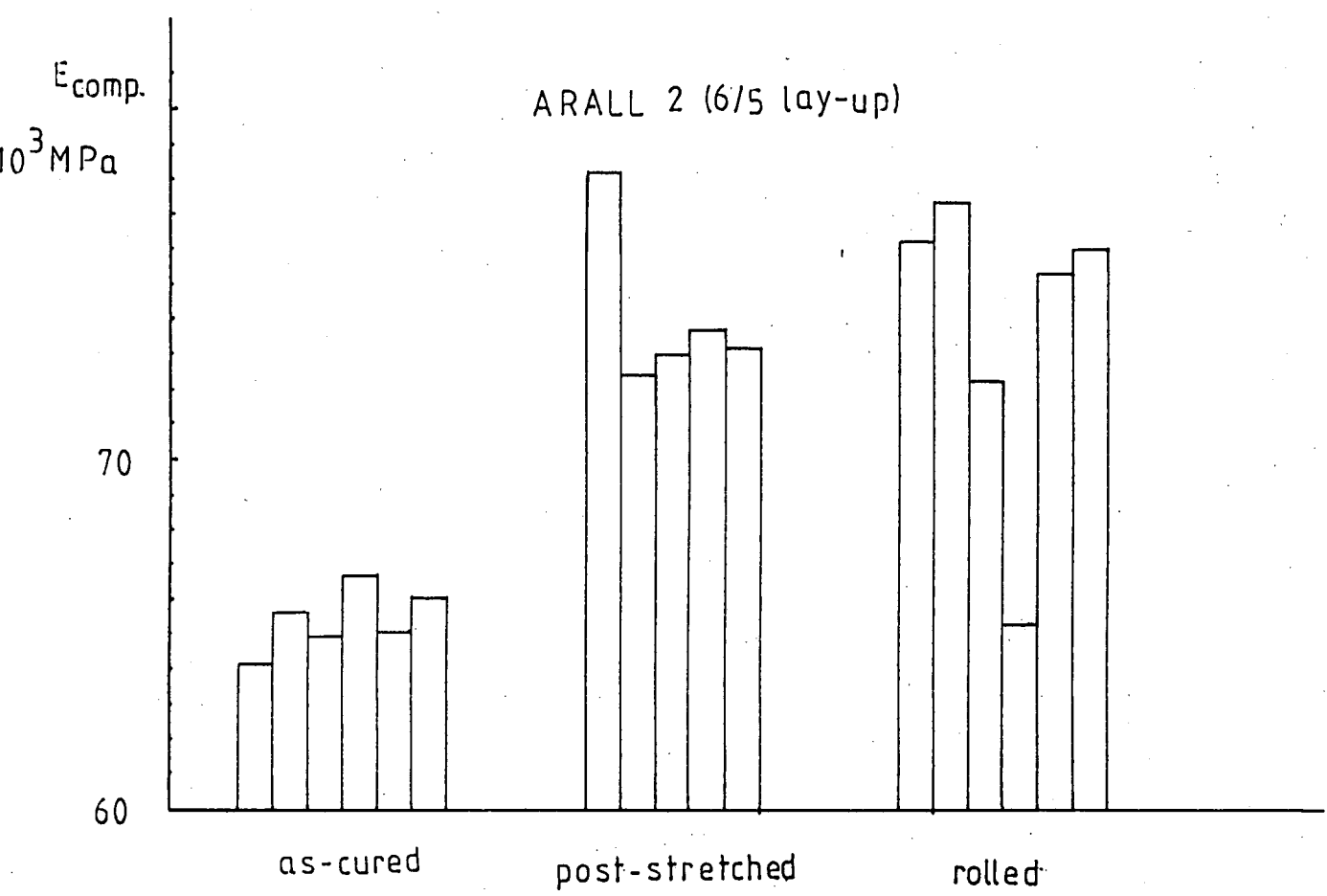
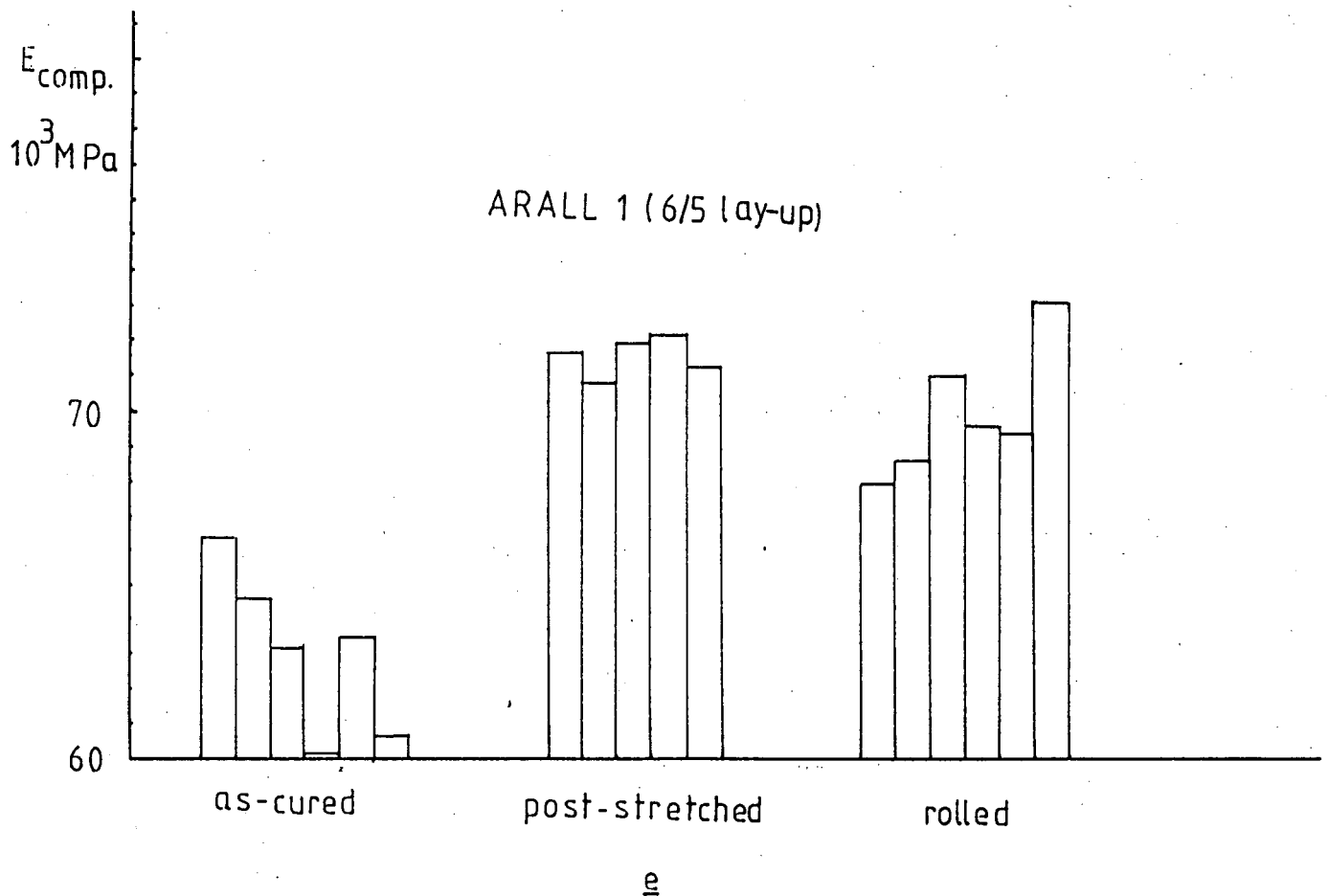
DIN 53454

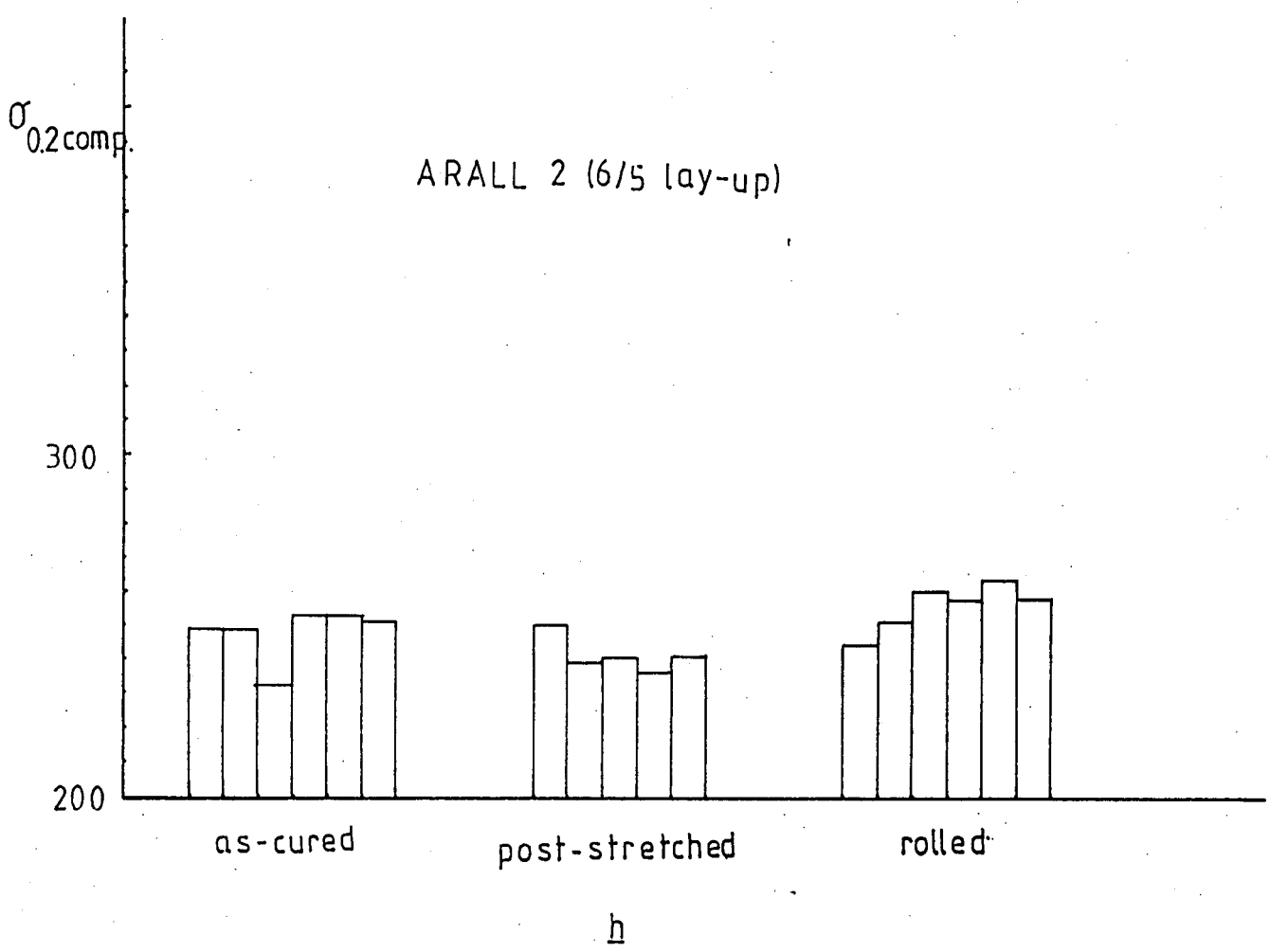
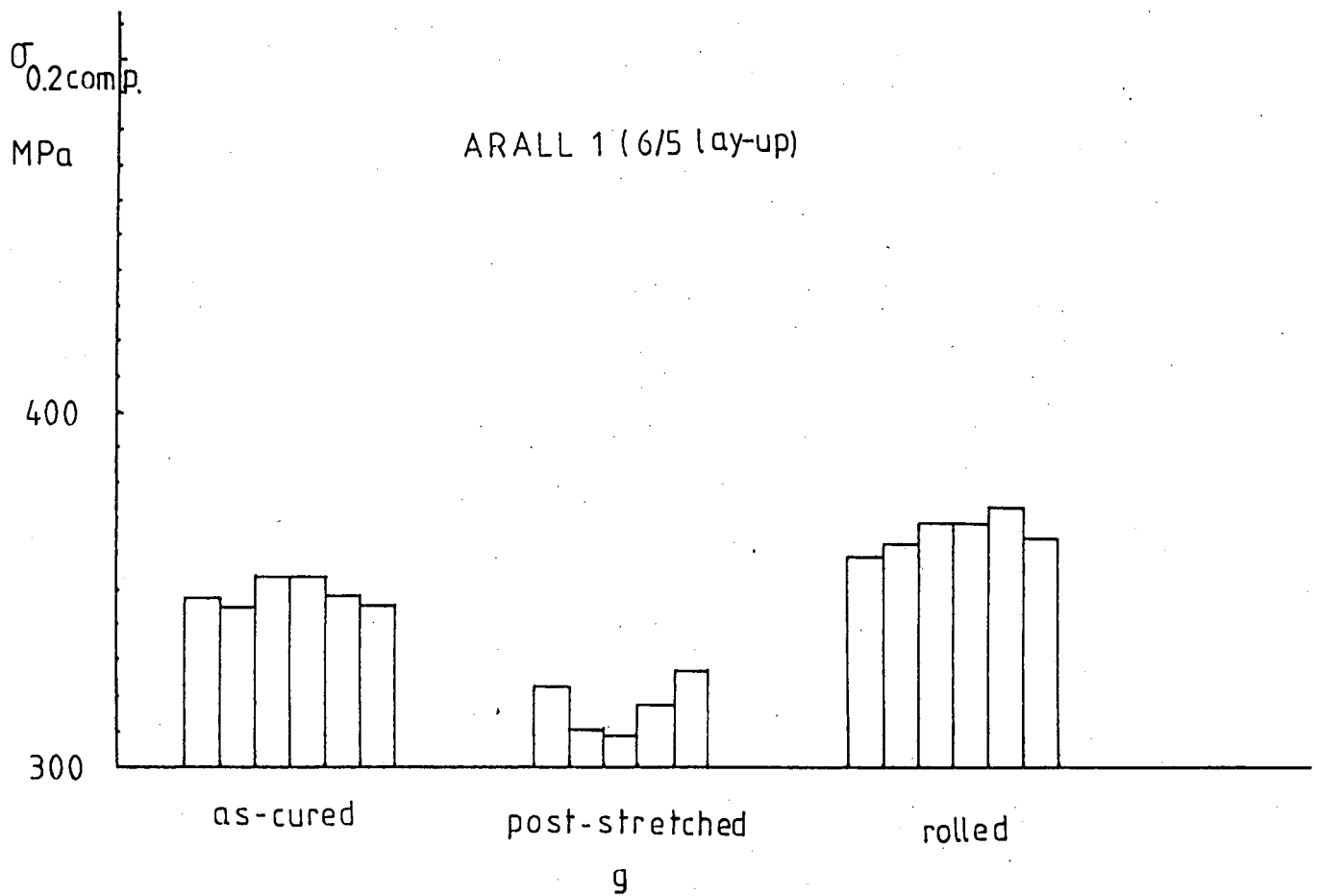
Fig. 9 Specimen for compression test

Fig.10 Effect of rolling and post-stretching
on ARALL









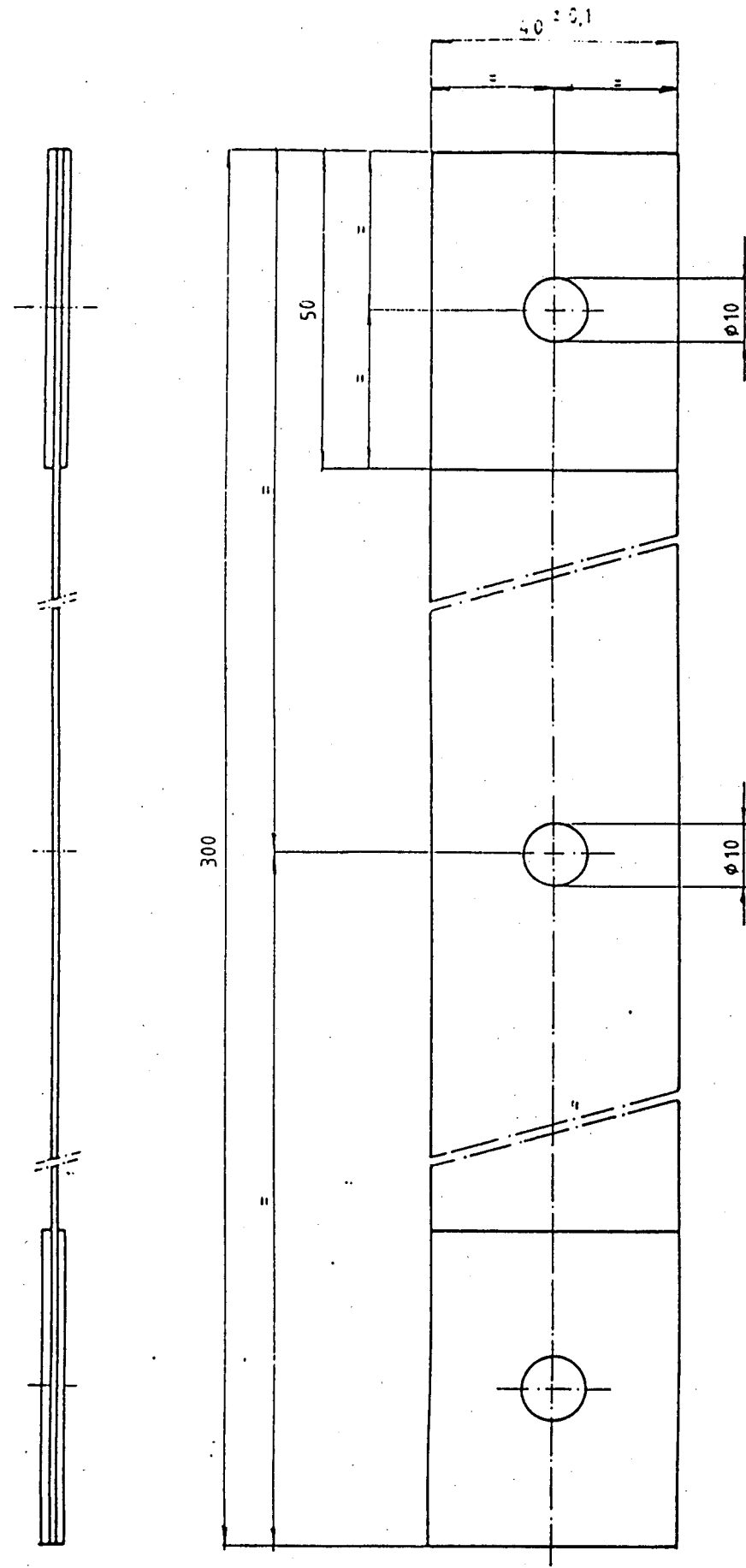


Fig. 11 Blunt-notch test specimen
 $K_t = 2.43$

Erläuterungen

Diese Norm stimmt sachlich überein mit der ISO 8¹⁾. Empfehlung ISO/R 179-1961: "Plastics - Determination of the Charpy impact resistance of rigid plastics (Charpy Impact Test)" — "Matières plastiques - Détermination de la résistance Charpy des matériaux plastiques rigides (Essai Charpy de résistance à la flexion pour énergie)" — "Kunststoffe, Schlagbiegeversuch nach Charpy an steifen Kunststoffen". Die Prüfung mit der Dymstat-Probe ist deshalb auch vertretbar worden. Sie wird künftig in einer gesonderten Norm festgelegt sein (siehe DIN 53 435, z. Z. noch Entwurf). Der Text des Abschnittes 10.3 ist in Übereinstimmung mit DIN 53 448²⁾ (Schlaggutversuch) geändert, da die bisherige Versuchsdurchführung Schwierkeiten innerhalb mit sich brachte, als nach einer gewissen Untersuchdauer der Griffe oder auch bei fabrikneuen Geräten der Schleppzeiger ruckartig umkippte.

¹⁾ Fertigungszahl z. Z. noch Entwurf
²⁾ siehe Seite 3
³⁾ ISO: International Organization for Standardization
⁴⁾ Norm ist ungültig

Testing of plastics; compression test

Zusammenhang mit der ISO-Empfehlung ISO/R 161-1967 siehe Erläuterungen.

Prüfung von Kunststoffen

Druckversuch

DIN 53 454

53 454

Folgende Beziehungen von Pendlenschlagwerten sind z. Z. noch vorhanden und entsprechen einander:						
DIN 51 222,	Ausgabe November 1968 ¹⁾	0,05	0,1	0,4	1,5	
DIN 51 222,	Ausgabe November 1973 ²⁾	0,5	1,3	4,4	15,4	

Mode in mm

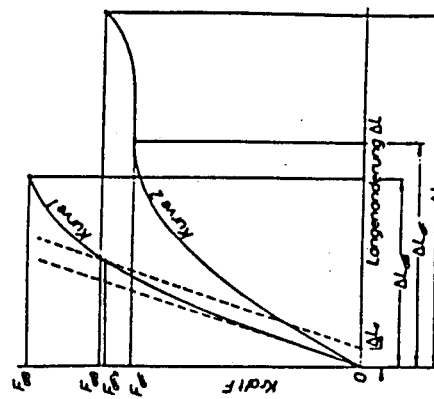


Bild 1. Kraft-Längenänderungs-Diagramm

Hierin bedeuten:

F_Br Kraft bei Bruch (bei Kurve 2 nur dann, wenn Probekörper bricht)

F_Q Kraft bei Quetschspannung

F_Fa Kraft bei $\approx 9\%$ -Streckspannung

ΔL_B Brüderlängenänderung bei Bruch (bei Kurve 2 nur dann, wenn Probekörper bricht)

ΔL_Fa Längenänderung bei der zur Quetschspannung gehörenden Kraft

ΔL_Q Längenänderung, die einer Streckung von $\approx 9\%$ entspricht

1) Falls die Spannung nicht aus dem Zusammenhang nicht ohne weiteres hervorgeht, soll das Formstückchen e in Index d versehen werden (siehe auch DIN 1407).

Erläuterungen siehe Originalfassung der Norm

Fortsetzung Seite 2 bis 3

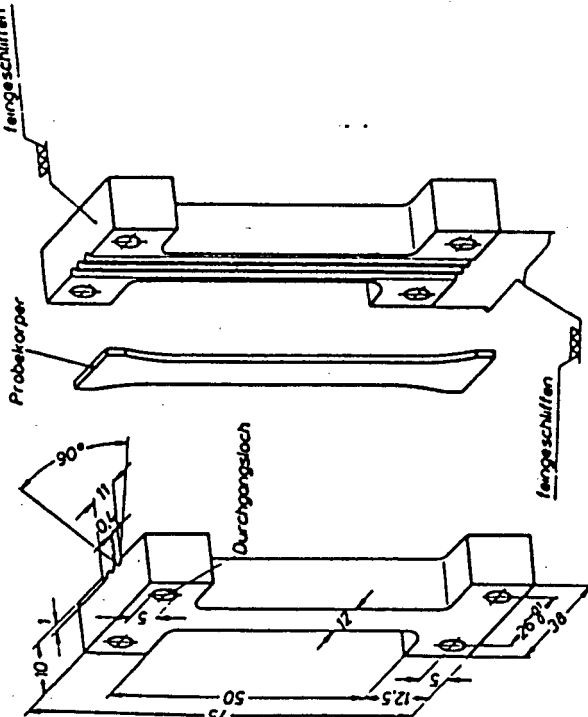


Bild 4. Sitzgestaltung für Probekörper nach Bild 3.

B. Durchführung

8.1. Die Länge und die Quersehnenmaße des Probekörpers werden auf $\pm 0.2\%$ jedoch auf nicht mehr als ± 0.01 mm gemessen.

8.2. Die Prüfung wird, sofern nichts anderes vereinbart (siehe auch Abschnitt 1) oder in den Normen für das herstellende Erzeugnis angegeben ist, im Normalzimmertemperaturbereich nach Bild 3 durchgeführt.

8.3. Der Probekörper wird so zwischen die Druckplatten eingebracht, daß die zu drückenden Flächen des Probekörpers parallel zu den polierten Flächen der Druckplatten stehen. Die Richtung der Längs- oder der Quersehnenmaße muß mit der Richtung der Druckkraft übereinstimmen. Der Probekörper muß so stehen, daß sich die Druckkräfte gleichmäßig auf die zu drückenden Flächen des Probekörpers verteilen. Probekörper nach Bild 3 werden in eine Stützeinrichtung (siehe Bild 4) eingesetzt. Es ist darauf zu achten, daß das über die Stützeinrichtung hinausragende Probekörperende von 1 bis 2x Dicke nicht ausreicht. Gegenbauteile muß der Probekörper gelöst oder bei stark störenden Energien abgenommen werden. Die beiden Teile der Stützeinrichtung des Probekörpers nur leicht berühren, ohne die Stauchung zu behindern.

9. Auswertung

9.1. Druksfestigkeit σ_{dB} in N/mm² bzw. kp/cm²

$$\sigma_{dB} = \frac{F_{dB}}{A}$$

$$\sigma_{dB} = \frac{F_{dB}}{A} \cdot 10^6 \text{ N/mm}^2 \text{ bzw. } 10^4 \text{ kp/cm}^2$$

$$\sigma_{dF} = \frac{F_{dF}}{A}$$

$$\sigma_{dF} = \frac{F_{dF}}{A} \cdot 10^6 \text{ N/mm}^2 \text{ bzw. } 10^4 \text{ kp/cm}^2$$

9.3. Die $x\%$ -Stauchspannung ϵ_{dF} wird ermittelt, indem man durch den Abstandswert J_1 , der einer Stauchung von $x\%$ entspricht, eine Parallele zur Anfangslinie der Kraft-Längenänderungs-Kurve legt. Der Schnittpunkt dieser Geraden mit der Kraft-Längenänderungs-Kurve ergibt die der $x\%$ -Stauchspannung entsprechende Kraft F_{dF} . Damit kann z.B. Bei der 0.1% -Stauchspannung ergibt J_1 ein $J_1 = 0.01 \cdot L$, bei der 1% -Stauchspannung ergibt J_1 ein $J_1 = 0.01 \cdot L$.

In Abschnitt 9.1 bis 9.3 bedeuten:

F_{dB} Kraft bei Bruch in N bzw. kp

F_{dF} zur Quetschspannung gehörende Kraft in N bzw. kp

F_{dF} zur $x\%$ -Stauchspannung gehörende Kraft in N bzw. kp

A kleinster Anfangsquerzuschlag des Probekörpers in mm² bzw. cm²

9.4. Stauchung beim Bruch ϵ_{dB} in %

$$\epsilon_{dB} = \frac{J_1 \cdot J_0}{L} \cdot 100$$

9.5. Stauchung bei Quetschspannung ϵ_{dF} in %

$$\epsilon_{dF} = \frac{J_1 \cdot J_0}{L} \cdot 100$$

In Abschnitt 9.4 und 9.5 bedeuten:
 J_1 Längendehnung bis zum Bruch in mm
 J_0 Längendehnung bis zu der zur Quetschspannung gehörenden Kraft in mm
 L Ursprüngliche Länge des Probekörpers in mm

9.6. Für jede Versuchsreihe ist jeweils der arithmetische Mittelwert sämtlicher gemessener Werte einschließlich der Standardabweichung zu berechnen. 7.

10. Prüfbericht
 Im Prüfbericht sind unter Hinweis auf diese Norm anzugeben:

Art, Lieferform und Bezeichnung des Erzeugnisses

Herstellatum und Verfahren der Probekörperlage des Probekörpers im Erzeugnis

Form und Abmessungen der Probekörper

Anzahl der Probekörper

Vorbereitung der Probekörper (gegebenenfalls dabei äußerlich erkennbare Veränderungen)

Prüfklima, sofern von dieser Norm abweichend

Mittelwert und Standardabweichung für:

Druksfestigkeit σ_{dB} in N/mm² bzw. kp/cm²

Quetschspannung σ_{dF} in N/mm² bzw. kp/cm²

$x\%$ -Stauchspannung ϵ_{dF} in N/mm² bzw. kp/cm²

(gegebenenfalls $\epsilon_{dF} \cdot 0.1$ für $x = 0.1$ und $\epsilon_{dF} \cdot 1$ für $x = 1$)

Stauchung beim Bruch ϵ_{dB} in %

Stauchung bei Quetschspannung ϵ_{dF} in %

7 Statistische Auswertungsverfahren siehe DIN 55 302 Blatt 1 und Blatt 2; statistische Auswertung von Mehrgebauarten bei Prüfung von Kautschuk- und Elastomeren siehe DIN 3359 Blatt 1 (Vornorm Juli 1967).

8.4. Zur Bestimmung der Festigkeit und Stauchung wird der Probekörper bei einer während des Versuches möglichst gleichbleibenden Prüfgeschwindigkeit zusammengedrückt. Dabei wird die Geschwindigkeit bestimmt, mit der sich die beiden Druckplatten einander nähern. Als Prüfgeschwindigkeit v im mm/min ist vorzugsweise zu wählen (werten in den Normen für das zu prüfende Erzeugnis nicht angegeben ist) $v = 1, 2, 5, 10, 20, 50$ oder 100 oder $v = 0.010 \cdot L$ (L ist die Länge des Probekörpers in mm).

8.5. Während des Versuchs sind die seithlich zusammengehörigen Werte für die Druckkraft und die Längendehnung in so engen Zeitabständen abzulesen, daß daraus eine Kraft-Längenänderungs-Kurve gezeichnet werden kann. Weil einheitlich ist festzustellen, ob der Probekörper bricht. Damit kann z.B. ermittelt werden, eine Reißgrenze für die Aufzeichnung der Kraft-Längenänderungs-Kurve zu benennen. Dabei ist zu beachten, daß die Aufzeichnung der Kurve nicht mehr als der Bruch ist.

9.1. Druksfestigkeit σ_{dB} in N/mm² bzw. kp/cm²

$$\sigma_{dB} = \frac{F_{dB}}{A}$$

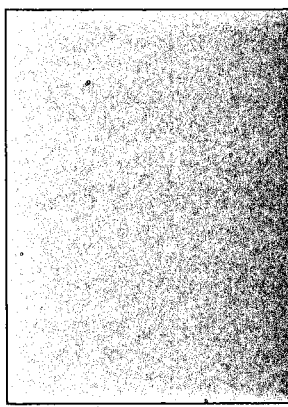
$$\sigma_{dB} = \frac{F_{dB}}{A} \cdot 10^6 \text{ N/mm}^2 \text{ bzw. } 10^4 \text{ kp/cm}^2$$

$$\sigma_{dF} = \frac{F_{dF}}{A}$$

$$\sigma_{dF} = \frac{F_{dF}}{A} \cdot 10^6 \text{ N/mm}^2 \text{ bzw. } 10^4 \text{ kp/cm}^2$$

$$\gamma 1 \cdot p = 9.8065 \text{ N (Newton)} = 10 \text{ N}$$

$$\frac{1}{c} \cdot \frac{p}{c} = \frac{q_1}{c} \cdot \frac{\text{N}}{\text{mm}^2} \cdot 1 - \frac{N}{c^2} = 10 \cdot \frac{kp}{c^2}$$



8885340